

02; 07
© 1992 г.

ДОППЛЕРОВСКАЯ СПЕКТРОСКОПИЯ ВЫСОКОИНТЕНСИВНЫХ ПУЧКОВ АТОМОВ И ИОНОВ

B. V. Анциферов

Рассмотрена возможность измерения расходимости высокоинтенсивных пучков атомов и отрицательных ионов водорода при использовании пассивной и лазерной допплеровской спектроскопии, предложенной автором, которая дает увеличение интенсивности регистрируемой H_{α} -линии на восемь порядков.

Введение

Высокоинтенсивные пучки атомов и отрицательных ионов водорода находят широкое применение на мезонных фабриках и для дополнительного нагрева плазмы в токамаках. Такие пучки транспортируются по ускорительным трактам большой длины с лимитированным угловым акселератором, и, для того чтобы пучок не коснулся стенок тракта, важно точно знать расходимость пучка и его положение в пространстве. Знание радиального распределения плотности тока и эмиттанса пучка необходимо также для оптимизации инъекции и ускорения. Однако плотность мощности в интенсивном пучке достигает такого уровня, при котором применение зондовых (контактных) методов измерения параметров пучка становится практически невозможным. Кроме того, введение зондов приводит к разрушению пучков и повышению фона радиации.

Все трудности измерения параметров интенсивных пучков устраняются при использовании бесконтактных оптических методов диагностики — оптической томографии и допплеровской спектроскопии. Оптическая томография основана на определении светового профиля пучка частиц по свечению остаточного газа в тракте ускорителя. Допплеровская спектроскопия использует регистрацию контура бальмеровских линий водорода, спонтанно излучаемых возбужденными атомами пучка, образующимися при перезарядке ионов H^- пучка на мишени или остаточном газе. Оптические методы диагностики пучков высокой энергии ранее применялись для измерения расходимости пучка [1-5], его пространственного профиля [6-9] и для определения элементарного состава пучка [1, 5, 8, 9].

В настоящей работе рассмотрена возможность применения методов допплеровской спектроскопии для определения расходимости пучка линейного ускорителя ионов H^- мезонной фабрики НЯИ РАН.

При переходе от лабораторной (л-системы), связанной с наблюдателем, к движущейся (ц-системе), связанной с атомами пучка, изменение длины волны излучения дается формулой Доппеля

$$\lambda = \lambda_0 \frac{1 - \beta_{\parallel} \cos \varphi}{\sqrt{1 - \beta_{\parallel}^2}}, \quad (1)$$

где λ — длина волны в л-системе, λ_0 — длина волны в ц-системе, φ — угол между вектором скорости v_{\parallel} пучка и вектором наблюдения (рис. 1), $\beta_{\parallel} = \frac{v_{\parallel}}{c}$ (для релятивистских пучков $\beta_{\parallel} = \sqrt{1 - 1/(1 + E/E_0)^2}$, где $E_0 = mc^2$).

Для измерения расходимости пучка необходимо найти распределение поперечных скоростей пучка Δv_{\perp} , которое связано с допплеровским уширенным контуром Δl_D спектральной линии. Поскольку $\beta_{\perp} = v_{\perp}/c \ll 1$, то

$$\Delta l_D = 2\lambda_0 \beta_{\perp} \cos \theta, \quad (2)$$

где θ — угол между вектором \bar{v}_{\perp} и вектором наблюдения, $\beta_{\perp} = 2\varepsilon/d$, ε и d — эмиттанс и диаметр пучка.

Для допплеровской спектроскопии пучка атомов водорода предпочтительнее использовать H_{α} -линию ($\lambda_0 = 656.28$ нм), сечение возбуждения которой имеет наибольшее значение среди бальмеровских линий [10]. В ширину регистрируемого допплеровского контура H_{α} -линии дают вклад следующие факторы: 1) тонкая структура H_{α} -линии ($\Delta \lambda_{tc} = 0.0132$ нм); 2) штарковское уширение линии ($\Delta \lambda_s$), обусловленное объемным зарядом пучка; 3) аппаратурное уширение линии ($\Delta \lambda_{ap}$), связанное с конкретным спектральным прибором; 4) уширение линии ($\Delta \lambda^{\Delta \beta_{\parallel}}$), обусловленное вкладом от разброса продольной скорости пучка; 5) уширение линии ($\Delta \lambda^{\Delta \varphi_A}$), связанное с угловой апертурой оптической системы сбора излучения.

Штарковское уширение линии, равное $\Delta \lambda_s$ [нм] = $10^{-12} n^{2/3}$, пренебрежимо мало и составляет $\sim 10^{-7}$ нм, здесь n — плотность пучка, равная $n = 3 \cdot 10^9 \cdot I(A)/e\beta_{\parallel}$. Аппаратурная ширина интерферометра Фабри-Перо, который может быть использован для регистрации контура H_{α} -линии, составляет

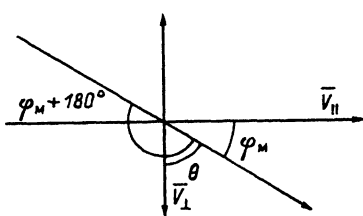


Рис. 1. Диаграмма направленностей векторов скоростей пучка и вектора наблюдения.

$\Delta\lambda_{ap} \approx 10^{-2}\lambda^2/h = 10^{-3}$ нм, где h — база интерферометра, также ма-
ла. Уширением линии $\Delta\lambda^{\Delta\beta_{||}}$, связанным с разбросом продольной скоро-
сти пучка $\Delta v_{||}$, можно пренебречь при „магическом“ угле регистрации, равном

$$\varphi_m = \arccos \beta_{||}. \quad (3)$$

При этом угле регистрации вклад $\Delta\lambda^{\Delta\beta_{||}}$ от $\Delta\beta_{||}$ составляет

$$\Delta\lambda^{\Delta\beta_{||}} \approx 10^{-7} \lambda_0. \quad (4)$$

При отклонении от „магического“ угла регистрации на $\Delta\varphi_m$ необходимо-
димо, чтобы вклад в ширину контура линии, обусловленный $\Delta\beta_{||}$, был
много меньше ширины допплеровского контура. В случае $\Delta\lambda^{\Delta\beta_{||}}(\Delta\varphi_m) \ll 10^{-1} \Delta\lambda_D$ ограничение на отклонение от „магического“ угла регистра-
ции будет составлять

$$\pm \Delta\varphi_m \lesssim 10^2 \frac{\Delta\lambda_D}{\lambda_0 \beta_{||}}. \quad (5)$$

Вклад в ширину допплеровского контура $\Delta\lambda^{\Delta\varphi_A}$, связанный с угловой
апертурой приемной системы, будет определяться $\beta_{||}$, а не $\beta_{\perp} \ll \beta_{||}$.
Чтобы этот вклад был на порядок меньше ширины допплеровского конту-
ра линии, необходимо выполнение следующего соотношения:

$$\Delta\varphi_A \lesssim 10^{-1} \frac{\Delta\lambda_D}{\lambda_0 \beta_{||}}. \quad (6)$$

Требования к параметрам допплеровской системы

С учетом параметров линейного ускорителя ионов $H^- E = 160$ МэВ,
 $t_h = 10^{-4}$ с, $I = 0.1$ А, $d = 0.8$ см, $\varepsilon = 10^{-4}$ град·см расчетные зна-
чения параметров пучка и допплеровской системы будут следующими:
 $\beta_{||} = 0.52$, $\beta_{\perp} = 1.25 \cdot 10^{-4}$, $n = 7.8 \cdot 10^7$ см⁻³, $\varphi_m = 58.7^\circ$, $\Delta\varphi_m = 2.3^\circ$, $\Delta\varphi_A = 4 \cdot 10^{-5}$ рад, $\Delta\lambda_D = 0.14$ нм, $\lambda_1 = 975$ нм, $\lambda_2 = 560$ нм,
где

$$\lambda_1 = \lambda_0 \frac{1 + \beta_{||}^2}{\sqrt{1 - \beta_{||}^2}} \quad \lambda_2 = \lambda_0 \sqrt{1 - \beta_{||}^2} \quad (7)$$

— резонансные длины волн в л-системе для направлений под углами φ_m
и $\varphi_m + 180^\circ$ к пучку соответственно.

Число фотонов $N(H_{\alpha})$, спонтанно испускаемых на всех трех переходах $3s \rightarrow 2p$, $3p \rightarrow 2s$, $3d \rightarrow 2p$, будет равно

$$N(H_{\alpha}) = N_{3s} + N_{3p} + N_{3d}. \quad (8)$$

Число фотонов N_m на каждом переходе, излучаемое в H_{α} -линию за импульс пучка и попадающее в допплеровскую систему с угловой апертурой $\Delta\varphi_A$ (рис. 2), определяется числом спонтанных распадов за время пролета t_p области регистрации возбужденными атомами водорода всего объема V импульса пучка

$$N_m = \frac{D\Delta\varphi_A}{f4\pi} VA_m \int_0^{t_p} n_m(t) dt, \quad (9)$$

где

$$V = \frac{\pi d^2}{4} c\beta_{||} t_i$$

— объем импульса пучка длительностью t_i ; D и f — диаметр и фокус собирающей линзы L_1 ; A_m — вероятность спонтанных переходов $A_{3s} = 0.63 \cdot 10^{-7} \text{ с}^{-1}$, $A_{3p} = 2.2 \cdot 10^{-7} \text{ с}^{-1}$, $A_{3d} = 6.4 \cdot 10^{-7} \text{ с}^{-1}$; n_m — плотности возбужденных атомов водорода в точке регистрации в состояниях $3s$, $3p$ и $3d$

$$n_m(t) = n_m^0 e^{-A_m t}, \quad (10)$$

здесь n_m^0 — плотность возбужденных атомов водорода после переразрядной мишени толщиной $X = \ln n_m$, которая для тонкой мишени равна

$$n_m^0 = n^{-1} X \delta_{-1,m}. \quad (11)$$

Сечение переразрядки ионами H^- в возбужденные атомы водорода в состоянии m дается выражением [11]:

$$\delta_{-1,m} = 8\pi a_0^2 \frac{\alpha^2}{\beta_{||}^2} [K_{-1,m}], \quad (12)$$

где $a_0 = 5.29 \cdot 10^{-9}$ см — радиус атома Бора, $\alpha = e^2/hc = 7.29 \times 10^{-3}$ — константа тонкой структуры, $K_{-1,m}$ — константа переразрядки.

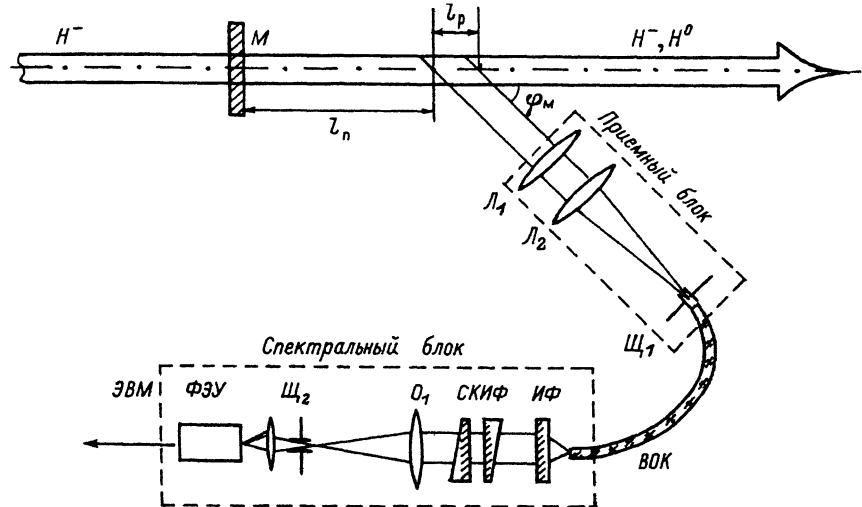


Рис. 2. Экспериментальная схема системы ПДСП.

M — перезарядная мишень, l_n — пролетная длина, l_p — длина области регистрации, φ_M — „магический“ угол регистрации излучения H_α^- -линии, VOK — волоконно-оптический кабель, IF — интерференционный фильтр, $СКИФ$ — сканирующий интерферометр Фабри—Перо.

В качестве переразрядной мишени можно использовать хорошо исследованную пленочную мишень из углерода, для которой $K_{-1,2s} = 1.44$ и $K_{-1,1s} = 15.7$ [1]. В литературе нет данных расчета сечений возбуждения $\delta_{-1,3s}$, $\delta_{-1,3p}$ и $\delta_{-1,3d}$ для углерода. Для водорода нами (отчет СФТИ, № 7512, 1989 г.) получено $\delta_{-1,3s} = 3 \cdot 10^{-2} \delta_{-1,2s}$; $\delta_{-1,3p} = 5.1 \cdot 10^{-3} \delta_{-1,2s}$; $\delta_{-1,3d} = 4.8 \cdot 10^{-3} \delta_{-1,2s}$; $\delta_{-1,2p} = 0.4 \delta_{-1,2s}$; $\delta_{-1,2s} = 7 \cdot 10^{-2} \delta_{-1,2s}$. Используя эти соотношения между сечениями для водорода, можно сделать приближенную оценку коэффициентов для углерода $K_{-1,3s} = 4.3 \cdot 10^{-2}$, $K_{-1,3p} = 7.3 \cdot 10^{-3}$, $K_{-1,3d} = 7 \cdot 10^{-3}$, $K_{-1,2p} = 0.58$. Расчетные приближенные значения сечений возбуждения водорода для энергии пучка 160 Мэв были получены следующие: $\delta_{-1,1s} = 2.2 \cdot 10^{-18} \text{ см}^2$, $\delta_{-1,2s} = 2 \cdot 10^{-19} \text{ см}^2$, $\delta_{-1,2p} = 8 \cdot 10^{-20} \text{ см}^2$, $\delta_{-1,3s} = 6 \cdot 10^{-21} \text{ см}^2$, $\delta_{-1,3p} = 1 \cdot 10^{-21} \text{ см}^2$, $\delta_{-1,3d} = 9.7 \cdot 10^{-22} \text{ см}^2$. Рассчитанная оптимальная толщина мишени из углерода составляет $X = 5 \cdot 10^{17} \text{ см}^{-2}$, тогда толщина пленки мишени будет равна $l = 50 \text{ нм}$. Плотности возбужденных атомов водорода в состояниях $3s$, $3p$ и $3d$ после мишени составят $n_{3s}^0 = 2.3 \cdot 10^5 \text{ см}^{-3}$, $n_{3p}^0 = 3.9 \cdot 10^4 \text{ см}^{-3}$ и $n_{3d}^0 = 3.8 \cdot 10^4 \text{ см}^{-3}$. Чтобы излучение возбужденных атомов уг-

лерода мишени не попадало в допплеровскую систему, необходимо, чтобы область регистрации была смещена относительно мишени на расстояние l_p . При $l_p = 15 \text{ см}$ $n_{3s}^0(l_p) = 2.2 \cdot 10^5 \text{ см}^{-3}$, $n_{3p}^0(l_p) = 3.8 \cdot 10^4 \text{ см}^{-3}$ и $n_{3d}^0(l_p) = 3.5 \cdot 10^4 \text{ см}^{-3}$.

Интегрируя (9) и подставляя в (8) для числа фотонов, находим

$$N(H_\alpha) = \frac{D\Delta\varphi_A}{f \cdot 4\pi} V \left[n_{3s}^0(l_p) (1 - e^{-A_{3s} t_p}) + n_{3p}^0(l_p) (1 - e^{-A_{3p} t_p}) + n_{3d}^0(l_p) (1 - e^{-A_{3d} t_p}) \right], \quad (13)$$

при длине области регистрации $l_p = 10 \text{ см}$ ($t_p = 0.64 \text{ нс}$) это число составляет $N(H_\alpha) = 2.4 \cdot 10^3$ фотон/имп. С учетом потерь на всех элементах допплеровской системы число фотонов, которое попадает на фотокатод ФЭУ за импульс пучка, составит $\sim 10^2$ фотон/имп., что позволяет производить регистрацию спектрального контура H_α -линии в токовом режиме.

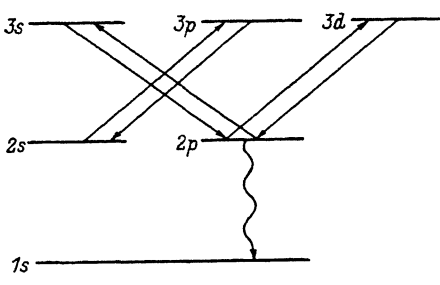
Экспериментальная схема

Экспериментальная схема допплеровской системы, приведенная на рис. 2, состоит из двух блоков: приемного и спектрального, связанных между собой волоконно-оптическим кабелем. Пленочная мишень M из углерода толщиной l , отстоящая от области регистрации на расстоянии l_p , вводится в пучок ионов H^- на достаточно короткое время, связанное с регистрацией контура H_α -линии, с помощью соответствующего механизма. Линейный размер области регистрации l_p задается диаметром $D = 10 \text{ см}$ линзы приемного блока, ось которого расположена под магнитным углом φ_m к оси пучка. Угловая апертура $\Delta\varphi_A$ приемного блока задается эффективным фокусом системы линз L_1 и L_2 и оптической щелью \mathcal{W}_1 размером 40 мкм, с которой вплотную состыкован волоконно-оптический кабель (ВОК), выводящий исследуемое значение из зоны с повышенной радиацией в помещение с нормальными условиями, в котором находится спектральный блок. Излучение H_α -линии, выделяемое с помощью узкополосного иртерференционного фильтра (ИФ) исследуется в спектральном блоке с помощью сканирующего интерферометра Фабри-Перо (СКИФ), длиннофокусного объектива O_1 , щели \mathcal{W}_2 и фотоумножителя (ФЭУ), сигнал с которого подается на ЭВМ.

Лазерная допплеровская спектроскопия пучка (ЛДСП)

Значительное увеличение интенсивности регистрируемой H_α -линии дает метод лазерной допплеровской спектроскопии пучка (ЛДСП), предложенный автором в 1985 г. и описанный в работе [12], в котором ис-

Рис. 3. Схема рабочих уровней атомов водорода и переходов в ЛДСП.



пользуется инициируемое лазером вынужденное излучение атомов водорода пучка, имеющего диаграмму направленности, совпадающую с расходимостью лазерного излучения. В этом случае устраняются существенные для пассивной допплеровской спектроскопии (ПДСП) потери интенсивности излучения в приемном блоке оптической системы регистрации, которые составляют $4\pi f/D\Delta\varphi_A = 10^6$. Увеличение интенсивности H_{α} -линии еще на два порядка достигается благодаря тому, что в ЛДСП дополнительно используются населенности уровней $2s$ и $2p$ (рис. 3), которые на порядок больше населенности уровней $n = 3$, и вместо спонтанных переходов используются вынужденные переходы, которые могут быть более чем на порядок больше спонтанных.

Экспериментальная схема. Лазерная система допплеровской спектроскопии пучка атомов водорода (рис. 4) включает в себя систему ПДСП (рис. 2) как систему регистрации допплеровского контура H_{α} -линии. Перевод атомов водорода пучка с энергией 160 МэВ с уровня $|2\rangle$ на уровень $|3\rangle$ предлагается производить резонансным излучением лазера 1 с длиной волны $\lambda_1 = 975$ нм, направленным под

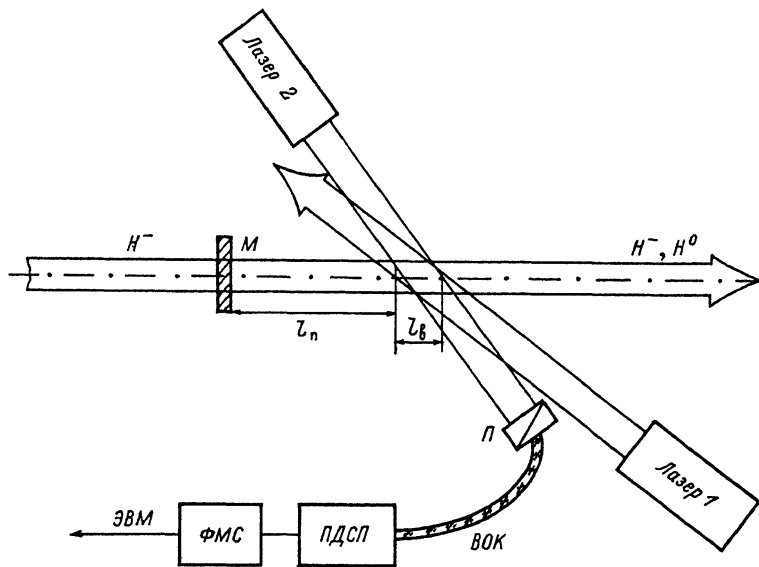


Рис. 4. Экспериментальная схема системы ЛДСП.

l — длина области взаимодействия и регистрации, P — поляризационная призма, ФМС — блок фазово-модуляционной спектроскопии.

магическим углом к атомному пучку $\varphi_m = 58.7^\circ$. Излучение должно иметь линейную поляризацию \bar{E}_1 , перпендикулярную к продольной скорости пучка \bar{v}_{\parallel} ($\bar{E}_1 \perp \bar{v}_{\parallel}$), и быть фазово промодулировано высокой частотой. Индуцированные переходы с уровней $|3\rangle$ на уровни $|2\rangle$ осуществляются квазинепрерывным излучением лазера 2 с длиной волны $\lambda_2 = 561$ нм, излучение которого имеет линейную поляризацию, параллельную скорости \bar{v}_{\parallel} ($\bar{E}_2 \parallel \bar{v}_{\parallel}$), и направлено под углом $\varphi_m + 180^\circ$ к пучку.

Индуцированное излучение водорода пучка будет иметь эллиптическую поляризацию с максимумом вектора \bar{E} , лежащим между \bar{E}_1 и \bar{E}_2 и под 45° к \bar{v}_{\parallel} , и будет промодулировано высокой частотой. Так как направление лазерного излучения на λ_2 совпадает с направлением регистрируемой H_{α} -линии, то при регистрации необходимо отделить промодулированную интенсивность. Два порядка интенсивности лазерного излучения можно предварительно ослабить с помощью поляризатора P без потерь интенсивности H_{α} -линии, если поляризатор P будет скрещен с вектором \bar{E}_2 . Дальнейшее подавление постоянной интенсивности лазерного излучения может быть осуществлено с помощью фазово-модуляционной спектроскопии.

Требования к лазерному излучению. Поскольку H_{α} -линия атомов водорода при такой плотности пучка неоднородно уширена, то, чтобы не происходило деформации и полевого уширения ее контура, необходимо, чтобы ширина спектра лазерного излучения была больше ширины допплеровского контура H_{α} -линии и интенсивность лазерного излучения была меньше интенсивности насыщения перехода $|2\rangle \leftrightarrow |3\rangle$, которая равна

$$I_n = \frac{\hbar \omega_{23}}{2\delta t}, \quad (14)$$

где

$$\delta = \frac{A_{32} \lambda_0^4}{2c\pi^2 \Delta \lambda_D} \quad (15)$$

— сечение перехода, t_b — время взаимодействия лазерного излучения с атомами водорода пучка, l_b — длина взаимодействия.

Для пучка атомов водорода с энергией 160 МэВ параметры лазерного излучения могут быть следующими: длительность импульса генерации 10^{-4} с, ширина спектра $\gtrsim 0.2$ нм, при длине взаимодействия $l_b = 3$ см интенсивность лазерного излучения $I \approx 3 \cdot 10^3$ Вт/см², что много меньше интенсивности насыщения $I_n = 1.5 \cdot 10^4$ Вт/см². Тогда вероятность вынужденных переходов, равная

$$W = \delta F = \frac{\delta I}{\hbar \omega_{32}}, \quad (16)$$

будет составлять $W = 1.0 \cdot 10^9 \text{ с}^{-1}$, что значительно больше вероятностей спонтанных переходов A_m .

Расчет интенсивности H_α -линии в ЛДСП. Число фотонов, излучаемых в H_α -линию при ЛДСП, будет определяться числом индуцированных переходов $|3\rangle \rightarrow |2\rangle$. Поскольку $W \gg A_m, A_{31}$ и сравнимо с A_{21}

$$N(H_\alpha) = W V \int_0^t \sum_n n_m(t) dt, \quad (17)$$

где $n_m(t)$ — населенности уровней $n_{3s}(t)$, то $n_{3p}(t), n_{3d}(t)$ находятся из скоростных уравнений

$$\dot{n}_{3p} = W(n_{2s} - n_{3p}), \quad \dot{n}_{2s} = W(n_{3p} - n_{2s}), \quad (18)$$

$$\dot{n}_{3s} = W(n_{2p} - n_{3s}), \quad \dot{n}_{3d} = W(n_{2p} - n_{3d}),$$

$$\dot{n}_{2p} = n_{2p}(W - A_{21}) + W(n_{3s} + n_{3d}). \quad (19)$$

Интегрируя (17) и подставляя значения $n_m(t)$ из (18) и (19), для числа фотонов $N(H_\alpha)$ получим

$$N(H_\alpha) W V \left[\frac{a_{32}}{\alpha_2} (l^{\alpha_2 t_3} - 1) + \frac{2b_{32}}{\gamma_2} (l^{\gamma_2 t_8} - 1) + \frac{2b_{33}}{\gamma_3} (l^{\gamma_3 t_3} - 1) \right]. \quad (20)$$

Подставляя в (20) расчётные значения коэффициентов и параметров $A_{21} = 0.62 \cdot 10^9 \text{ с}^{-1}, W = 1 \cdot 10^9 \text{ с}^{-1}, V = 7.8 \cdot 10^5 \text{ см}^3, t = 0.19 \text{ нс}, n_{2s}^0(l) = 7.8 \cdot 10^6 \text{ см}^{-3}, n_{2p}^0(l) = 1.6 \cdot 10^6 \text{ см}^{-3}, n_{3s}^0(l) = 2.2 \cdot 10^5 \text{ см}^{-3}, n_{3p}^0(l) = 0.38 \cdot 10^5 \text{ см}^{-3}, n_{3d}^0(l) = 0.36 \cdot 10^5 \text{ см}^{-3}, \alpha_2 = -2 \cdot 10^9 \text{ с}^{-1}, a_{32} = 8.2 \cdot 10^5 \text{ см}^{-3}, \gamma_1 = -1 \cdot 10^9 \text{ с}^{-1}, \gamma_2 = 0.13 \cdot 10^9 \text{ с}^{-1}, \gamma_3 = -2.76 \cdot 10^9 \text{ с}^{-1}, b_{32} = -2.73 \cdot 10^5 \text{ см}^{-3}, b_{33} = 4 \cdot 10^5 \text{ см}^{-3}$, для числа фотонов окончательно получаем $N(H_\alpha) = 1.3 \cdot 10^{11}$ фотон/имп., что на восемь порядков больше, чем в случае пассивной допплеровской спектроскопии.

Выводы

Таким образом, расчеты показывают возможность применения как лазерной, так и пассивной допплеровской спектроскопии для измерения

расходимости пучка ионов H^- с энергией 160 МэВ и эмиттансом 10^{-4} рад·см. Рассмотрены конкретные экспериментальные схемы систем допплеровской спектроскопии пучка, которые могут быть использованы на линейном ускорителе ионов H^- .

С п и с о к л и т е р а т у р ы

- [1] Burrel C.F., Cooper W.S., Smith R.R., Steele W.F. // Rev. Sci. Instr. 1980. Vol. 51. N 11. P. 1451–1462.
- [2] Brasso G., Breton C., De Michelis C. et al. Report EUR-CEA-FC-1080. Frascati (Italy), 1981.
- [3] Mc Neil D.H., Kim J. Report ORNL/TM-7259. Oak Ridge Report, 1980.
- [4] Bonnal J.F., Brasso G., Breton C. et al. // Report EUR-CEA-FC-1079. Frascati (Italy), 1981.
- [5] Orzechowski T.J., Carter M.R., Munger R.C. et al. // Rev. Sci. Instr. 1983. Vol. 53. N 12. P. 1615–1622.
- [6] Bonnal J.F., Breton C. et al. // Phys. Lett. 1978. Vol. 69A. N 2. P. 116–118.
- [7] Cottrell G.A. Preprint CLM-P-634. Abington (Oxfordshire), 1981.
- [8] Cottrell G.A. Preprint CLM-P-650. Abington (Oxfordshire), 1981.
- [9] Cottrell G.A. // Rev. Sci. Instr. 1984. Vol. 55. N 9. P. 1401–1408.
- [10] Geddes J., Hill H.B., Gilbody H.B. // J. Phys. B. 1981. Vol. 14. P. 4836–4846.
- [11] Gillespie G.H. // Nucl. Instr. Meth. Phys. Res. 1985. Vol. 10/11. P. 22–25.
- [12] Анциферов В.В. Препринт СФТИ. № 91-6. М., 1991. 22 с.

Сухумский физико-технический
институт им. И.Н. Векуа

Поступило в Редакцию
13 мая 1991 г.

В окончательной редакции
23 марта 1992 г.
